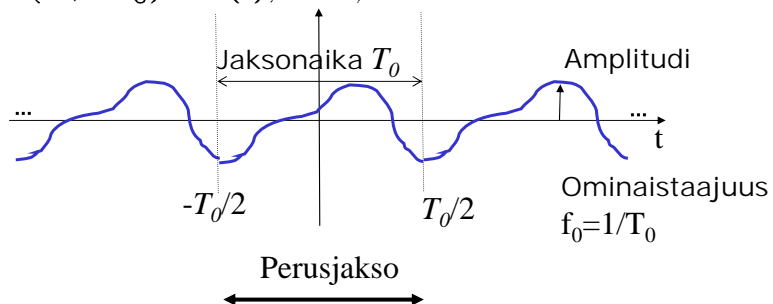


Luento 2

- Jaksollisten signaalien Fourier-sarjat
- Viivaspektri

Jaksolliset signaalit

- Jaksollinen (periodinen)
 $v(t + kT_0) = v(t), t \in \mathbb{R}, k \in \mathbb{Z}$



Signaalin ominaisuuksien tarkastelemiseksi riittää kun keskitytään yhden jakson pitaiseen aikaväliin. Valitaan yksinkertaisuuden vuoksi tarkasteluväliksi $-T_0/2 \leq t \leq T_0/2$

Jaksolliset signaalit

- Kahden jaksollisen signaalin sisätulo, kun molempien signaalien jaksonaika on T_0 tai T_0 on niiden monikerta

$$(v_1(t)|v_2(t)) = \frac{1}{T_0} \int_{-T_0/2}^{T_0/2} v_1(t)v_2^*(t)dt$$

- Keskimääräinen teho (indusoitu normi)

$$P \stackrel{\text{def}}{=} \langle v(t) \rangle \stackrel{\text{def}}{=} (v(t)|v(t))$$

$$P = \langle v(t) \rangle = \frac{1}{T_0} \int_{-T_0/2}^{T_0/2} |v(t)|^2 dt$$

Ortonormaali kanta

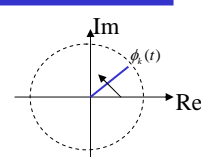
- Tarkastellaan osoitinsignaaleja

$$\phi_k(t) = \exp\left(\frac{i2\pi k}{T_0}t\right) \quad k = \dots, -2, -1, 0, 1, 2, \dots$$

- Osoittimen $\phi_k(t)$ pyörimistäajuus

- $k=0$: 0 Hz Tasavirtakomponentti (DC)
- $k=1$: $1/T_0$ Perustaaajuus
(1. harmoninen taajuus)
- $k>1$: k/T_0 k. Harmoninen taajuus

- Osoittimet muodostavat ortonormaalien kannan



$$(\phi_k(t)|\phi_l(t)) = \begin{cases} 1 & k = l \\ 0 & k \neq l \end{cases}$$

Ortonormaali kanta

- Osoitetaan, että

$$(\phi_k(t)|\phi_l(t)) = \begin{cases} 1 & k=l \\ 0 & k \neq l \end{cases}$$

– Tarkastellaan ensin tapausta $k = l$

$$\begin{aligned} (\phi_k(t)|\phi_l(t)) &= \frac{1}{T_0} \int_{-\frac{T_0}{2}}^{\frac{T_0}{2}} \exp\left(\frac{i2\pi k}{T_0}t\right) \exp\left(-\frac{i2\pi l}{T_0}t\right) dt, \quad k \neq l \\ &= \frac{1}{T_0} \int_{-\frac{T_0}{2}}^{\frac{T_0}{2}} \exp\left(\frac{i2\pi(k-l)}{T_0}t\right) dt = \frac{1}{T_0} \int_{-\frac{T_0}{2}}^{\frac{T_0}{2}} \exp\left(\frac{i2\pi 0}{T_0}t\right) dt = \frac{1}{T_0} \int_{-\frac{T_0}{2}}^{\frac{T_0}{2}} 1 dt = 1 \end{aligned}$$

Ortonormaali kanta

- Tarkastellaan nyt tapausta $k \neq l$

$$\begin{aligned} (\phi_k(t)|\phi_l(t)) &= \frac{1}{T_0} \int_{-\frac{T_0}{2}}^{\frac{T_0}{2}} \exp\left(\frac{i2\pi k}{T_0}t\right) \exp\left(-\frac{i2\pi l}{T_0}t\right) dt, \quad k \neq l \\ &= \frac{1}{T_0} \int_{-\frac{T_0}{2}}^{\frac{T_0}{2}} \exp\left(\frac{i2\pi(k-l)}{T_0}t\right) dt = \frac{1}{i2\pi(k-l)} \exp\left(\frac{i2\pi(k-l)}{T_0}t\right) \Big|_{-\frac{T_0}{2}}^{\frac{T_0}{2}} \\ &= \frac{1}{i2\pi(k-l)} (\exp(i\pi(k-l)) - \exp(-i\pi(k-l))) \\ &= \frac{\sin(\pi(k-l))}{\pi(k-l)} = \text{sinc}(k-l) = 0 \end{aligned}$$

$$\begin{aligned} \sin(x) &= \frac{1}{2i} (e^{ix} - e^{-ix}) \\ \text{sinc}(x) &= \frac{\sin(\pi x)}{\pi x} \end{aligned}$$

SINC-funktio

$$\text{sinc}(x) = \frac{\sin(\pi x)}{\pi x}$$

– Nollakohdat

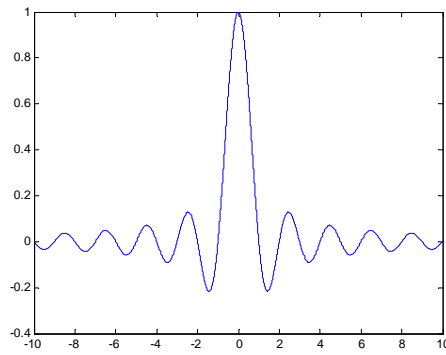
$$\text{sinc}(x) = \frac{\sin(\pi x)}{\pi x} = 0$$

$$x = \pm 1, \pm 2, \pm 3, \dots$$

– Raja-arvo

$$\lim_{x \rightarrow 0} \frac{\sin(\pi x)}{\pi x} = \lim_{x \rightarrow 0} \frac{\frac{\partial}{\partial x} \sin(\pi x)}{\frac{\partial}{\partial x} \pi x} = \lim_{x \rightarrow 0} \frac{\pi \cos(\pi x)}{\pi} = \frac{\pi}{\pi} = 1$$

Hôpital's rule



Ortonormaali kanta

- Tarkastellaan jaksollista funktiota $v(t) = v(t+mT_0)$,
 $m = \dots, -1, 0, 1, \dots$

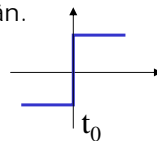
joka täyttää ehdot

i) $P = \frac{1}{T_0} \int_{-\frac{T_0}{2}}^{\frac{T_0}{2}} |v(t)|^2 dt < \infty$ (Neliöintegroituva/Tehosignaali)

ii) $\lim_{\varepsilon \rightarrow 0} |v(t_0 + \varepsilon) - v(t_0 - \varepsilon)| \neq 0$ äärellisessä määrässä pisteitä välillä

$$-T_0/2 \cdot t_0 \cdot T_0/2$$

Jälkimmäinen ehto rajoittaa signaalin epäjatkuvuuskohtien määrän.



Ortonormaali kanta

- Signaali, joka täyttää ehdot i) ja ii) voidaan esittää ortogonaalisen kannan avulla

Exponentiaalinen Fourier-sarja

$$v(t) = \sum_{k=-\infty}^{\infty} v_k \phi_k(t) = \sum_{k=-\infty}^{\infty} v_k \exp\left(i \frac{2\pi k}{T_0} t\right)$$

Fourier-kertoimet

$$v_k = (v(t) | \phi_k(t)) = \frac{1}{T_0} \int_{-\frac{T_0}{2}}^{\frac{T_0}{2}} v(t) \phi_k^*(t) dt = \frac{1}{T_0} \int_{-\frac{T_0}{2}}^{\frac{T_0}{2}} v(t) \exp\left(-i \frac{2\pi k}{T_0} t\right) dt$$

Eksponentiaalinen Fourier-sarja

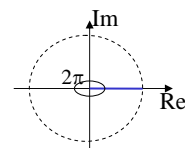
- On periodinen

$$v(t) = \sum_{k=-\infty}^{\infty} v_k \exp\left(i \frac{2\pi k}{T_0} t\right) = v(t + mT_0), \quad m \in \mathbb{Z}$$

Tästä seuraa se, että jaksollisen signaalin perusjaksolle laskettu Fourier-sarja on voimassa kaikilla t:n arvoilla.

$$\begin{aligned} v(t + mT_0) &= \sum_{k=-\infty}^{\infty} v_k \exp\left(i \frac{2\pi k}{T_0} (t + mT_0)\right) = \sum_{k=-\infty}^{\infty} v_k \exp\left(i \frac{2\pi k}{T_0} t\right) \exp\left(i \frac{2\pi k}{T_0} mT_0\right) \\ &= \sum_{k=-\infty}^{\infty} v_k \exp\left(i \frac{2\pi k}{T_0} t\right) = v(t) \end{aligned}$$

$$\boxed{\exp\left(i \frac{2\pi k}{T_0} mT_0\right) = \exp(i 2\pi km) = 1}$$



Exponentiaalinen Fourier-sarja

- Fourier-kertoimet

$$v_k = \frac{1}{T_0} \int_{-T_0/2}^{T_0/2} v(t) \exp\left(-i\frac{2\pi k}{T_0}t\right) dt, \quad k \in \mathbb{Z}$$

- ovat kompleksisia suureita:

$$v_k = |v_k| \exp(i \arg\{v_k\}) \quad v_k \in \mathbb{C}$$

- vastaavat perustaaajuuden $f_0 = 1/T_0$ harmonisia taajuuksia $kf_0, \quad k \in \mathbb{Z}$

- Tasavirtakomponentti $k = 0$ vastaa **signaalin keskimääräistä amplitudia**

$$v_0 = \frac{1}{T_0} \int_{-T_0/2}^{T_0/2} v(t) \cdot 1 dt$$

Trigonometrinen Fourier-sarja

- Reaaliseelle signaalille $v(t) \in \mathbb{R} \quad \forall t$
 $v_{-k} = v_k^* = |v_k| \exp(-i \arg\{v_k\}) \quad \text{Hermiittinen symmetria}$
- Käytetään tästä ominaisuutta hyväksi:

$$\begin{aligned} v(t) &= \sum_{k=-\infty}^{\infty} v_k \exp\left(i\frac{2\pi k}{T_0}t\right) \\ v(t) &= v_0 + \sum_{k=1}^{\infty} |v_k| \underbrace{\left(\exp\left(i \arg\{v_k\} + i\frac{2\pi k}{T_0}t\right) + \exp\left(-i \arg\{v_k\} - i\frac{2\pi k}{T_0}t\right)\right)}_{(k>0)} \end{aligned}$$

$$\cos(\phi) = \frac{1}{2} (\exp(i\phi) + \exp(-i\phi))$$

Trigonometrinen Fourier-sarja

$$v(t) = v_0 + \sum_{k=1}^{\infty} 2|v_k| \cos\left(\frac{2\pi k}{T_0}t + \arg\{v_k\}\right)$$

Fourier kosini- ja sinisarja

- **Fourier-kertoimet**

$$v_k = \frac{1}{T_0} \int_{-\frac{T_0}{2}}^{\frac{T_0}{2}} v(t) \exp\left(-\frac{2\pi k}{T_0} t\right) dt$$

$$e^{-ix} = \cos(x) - i \sin(x)$$

$$= \frac{1}{T_0} \int_{-\frac{T_0}{2}}^{\frac{T_0}{2}} v(t) \left(\cos\left(\frac{2\pi k}{T_0} t\right) - i \sin\left(\frac{2\pi k}{T_0} t\right) \right) dt = \underline{\alpha_k - i\beta_k}$$

$$\alpha_k = \frac{1}{T_0} \int_{-\frac{T_0}{2}}^{\frac{T_0}{2}} v(t) \cos\left(\frac{2\pi k}{T_0} t\right) dt$$

$$\beta_k = \frac{1}{T_0} \int_{-\frac{T_0}{2}}^{\frac{T_0}{2}} v(t) \sin\left(\frac{2\pi k}{T_0} t\right) dt$$

S-.72.1110 Signaalit ja järjestelmät 5 op

TKK Tietoliikennelaboratorio

13

Fourier kosini- ja sinisarja

- **Fourier sini- ja kosinisarja**

- $v(t)$ on reaalinen:

$$v_0 = \alpha_0$$

$$v_{-k} = v_k^* = (\alpha_k + i\beta_k)$$

- Nyt voidaan kirjoittaa

$$\begin{aligned}
 v(t) &= \sum_{k=-\infty}^{\infty} v_k \exp\left(i \frac{2\pi k}{T_0} t\right) = \\
 &= \alpha_0 + \sum_{k=1}^{\infty} (\alpha_k - i\beta_k) \exp\left(i \frac{2\pi k}{T_0} t\right) + (\alpha_k + i\beta_k) \exp\left(-i \frac{2\pi k}{T_0} t\right) \\
 &= \alpha_0 + 2 \sum_{k=1}^{\infty} \left[\alpha_k \cos\left(\frac{2\pi k}{T_0} t\right) + \beta_k \sin\left(\frac{2\pi k}{T_0} t\right) \right]
 \end{aligned}$$

v_1, v_2, \dots

v_{-1}, v_{-2}, \dots

$$\begin{aligned}
 &-i \exp(ix) + i \exp(-ix) \\
 &= \frac{2}{2i} (\exp(ix) - \exp(-ix)) \\
 &= 2 \sin(x)
 \end{aligned}$$

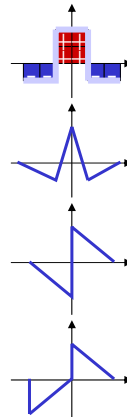
S-.72.1110 Signaalit ja järjestelmät 5 op

TKK Tietoliikennelaboratorio

14

Fourier kosini- ja sinisarja

- Tarkastellaan reaalista signaalia $v(t)$
 - Jos pinta-ala signaalilla on nolla, $\alpha_0=0$
($\beta_0 = 0$ reaaliselle signaalille)
 - Parillinen signaali
 $v(-t) = v(t)$
 $\Rightarrow \beta_k = 0$ sini-sarja häviää
 - Pariton signaali
 $v(-t) = -v(t)$
 $\Rightarrow \alpha_k = 0$ kosini-sarja häviää
 - Puoliaatosymmetrinen:
 $v(-t) = -v(T_0/2-t)$
Parilliset harmoniset häviävät $\alpha_{2n}=0, \beta_{2n}=0, n = 0, 1, 2, \dots$



Esimerkki 1

- Olkoon
- $$v(t) = A \cos\left(\frac{2\pi}{T_0}t + \phi\right)$$
- Fourier-sarjan kertoimet

$$v_k = \frac{1}{T_0} \int_{-T_0/2}^{T_0/2} A \cos\left(\frac{2\pi}{T_0}t + \phi\right) \exp\left(-i\frac{2\pi k}{T_0}t\right) dt, \quad k \in \mathbb{Z}$$

Huomataan, että

$$\cos\left(\frac{2\pi}{T_0}t + \phi\right) = \frac{1}{2} \left(\exp\left(i\frac{2\pi}{T_0}t\right) \exp(i\phi) + \exp\left(-i\frac{2\pi}{T_0}t\right) \exp(-i\phi) \right)$$

Joten kertoimet voidaan kirjoittaa muotoon

$$v_k = \frac{1}{T_0} \int_{-T_0/2}^{T_0/2} \frac{A}{2} \left(\exp\left(-i\frac{2\pi(k-1)}{T_0}t + i\phi\right) + \exp\left(-i\frac{2\pi(k+1)}{T_0}t - i\phi\right) \right) dt, \quad k \in \mathbb{Z}$$

Esimerkki 1

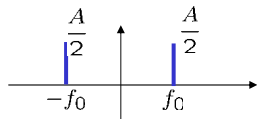
Ratkaistaan integraali

$$\begin{aligned} & \frac{1}{T_0} \int_{-T_0/2}^{T_0/2} \exp\left(-i \frac{2\pi l}{T_0} t + i\psi\right) dt \\ &= \exp(i\psi) \frac{1}{T_0} \frac{T_0}{-i2\pi l} \left(\exp\left(-i \frac{2\pi l T_0}{T_0} \frac{T_0}{2}\right) - \exp\left(i \frac{2\pi l T_0}{T_0} \frac{T_0}{2}\right) \right) = \exp(i\psi) \frac{1}{\pi l} \sin(\pi l) \end{aligned}$$

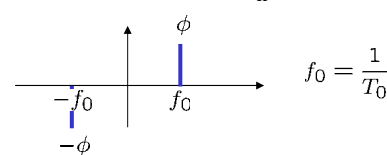
Joten

$$v_k = \frac{A}{2} \exp(i\phi) \frac{\sin(\pi(k-1))}{\pi(k-1)} + \frac{A}{2} \exp(-i\phi) \frac{\sin(\pi(k+1))}{\pi(k+1)} = \begin{cases} \frac{A}{2} \exp(i\phi) & k=1 \\ \frac{A}{2} \exp(-i\phi) & k=-1 \\ 0 & otherwise \end{cases}$$

Amplitudispektri: $|v_k|$



Vaihespektri: $\arg\{v_k\}$



$$f_0 = \frac{1}{T_0}$$

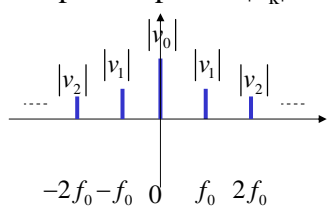
Viivaspektri

- Reaalinen jaksollinen signaali voidaan esittää summana kosinisignaaleja

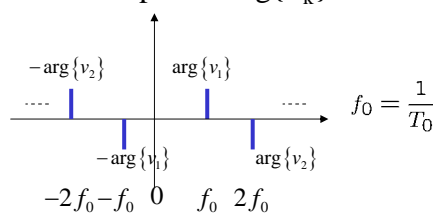
$$v(t) = v_0 + \sum_{k=1}^{\infty} 2|v_k| \cos\left(\frac{2\pi k}{T_0}t + \arg\{v_k\}\right)$$

- Viivaspektri

Amplitudispektri: $|v_k|$



Vaihespektri: $\arg\{v_k\}$



$$f_0 = \frac{1}{T_0}$$

Parsevalin teoreema

Signaalin keskimääräinen teho

$$P = \frac{1}{T_0} \int_{-T_0/2}^{T_0/2} |v(t)|^2 dt = \sum_{k=-\infty}^{\infty} |v_k|^2$$

$$\begin{aligned} P &= \frac{1}{T_0} \int_{T_0/2}^{T_0/2} |v(t)|^2 dt \\ &= \frac{1}{T_0} \int_{T_0/2}^{T_0/2} v(t)v^*(t)dt \\ &= \frac{1}{T_0} \int_{T_0/2}^{T_0/2} v(t) \sum_{k=-\infty}^{\infty} v_k^* \exp\left(\frac{i2\pi k}{T_0} t\right) dt \\ &= \sum_{k=-\infty}^{\infty} v_k^* \frac{1}{T_0} \int_{T_0/2}^{T_0/2} v(t) \exp\left(\frac{i2\pi k}{T_0} t\right) dt \\ &= \sum_{k=-\infty}^{\infty} v_k^* v_k \\ &= \sum_{k=-\infty}^{\infty} |v_k|^2 \end{aligned}$$

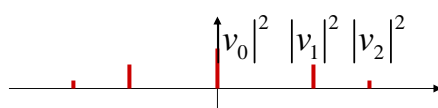
S-.72.1110 Signaalit ja järjestelmät 5 op

TKK Tietoliikennelaboratorio

19

Viivaspektri

- Tehospektri



Tehospektrin kertoimet määrittelevät miten signaalin teho on jakautunut eri taajuuksille.

S-.72.1110 Signaalit ja järjestelmät 5 op

TKK Tietoliikennelaboratorio

20

Esimerkki 2

- Signaali, iossa on DC-komponentti

$$v(t) = V_0 + V_1 \cos\left(\frac{2\pi}{T_0}t + \phi\right)$$

– Keksimääriäinen teho

$$P = \langle v(t) \rangle = \frac{1}{T_0} \int_{-T_0/2}^{T_0/2} \left(V_0^2 + 2V_0 V_1 \cos\left(\frac{2\pi}{T_0}t\right) + V_1^2 \cos^2\left(\frac{2\pi}{T_0}t\right) \right) dt$$

Huomaa, että

$$\cos^2(x) = \frac{1}{2}(1 + \cos(2x))$$

Joten tehon lauseke voidaan viedä muotoon

$$P = \frac{1}{T_0} \int_{-T_0/2}^{T_0/2} \left(V_0^2 + 2V_0 V_1 \cos\left(\frac{2\pi}{T_0}t\right) + V_1^2 \frac{1}{2}(1 + \cos\left(\frac{4\pi}{T_0}t\right)) \right) dt$$

Osoittautuu, että

$$P = V_0^2 + \frac{1}{2}V_1^2$$

Esimerkki 2

- Vakion viivaspektri

$$v_1(t) = V_0$$

$$v_{1,k} = \frac{1}{T_0} \int_{-T_0/2}^{T_0/2} v_1(t) \exp\left(-i\frac{2\pi k}{T_0}t\right) dt, \quad k \in \mathbb{Z}$$

$$v_{1,k} = \frac{1}{T_0} \int_{-T_0/2}^{T_0/2} V_0 \cdot \exp\left(-i\frac{2\pi k}{T_0}t\right) dt, \quad k \in \mathbb{Z}$$

$$v_{1,k} = V_0 \frac{1}{T_0} \frac{T_0}{i2\pi k} \left(\exp\left(i\frac{2\pi k T_0}{T_0} \frac{T_0}{2}\right) - \exp\left(-i\frac{2\pi k T_0}{T_0} \frac{T_0}{2}\right) \right)$$

$$v_{1,k} = V_0 \text{sinc}(k)$$

Huomaa, että

$$\text{sinc}(k) = \begin{cases} 0 & k = \pm 1, \pm 2, \pm 3, \dots \\ 1 & k = 0 \end{cases}$$

Esimerkki 2

- Sinisignaalin viivaspektri

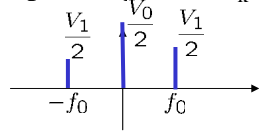
$$v_2(t) = V_1 \cos\left(\frac{2\pi}{T_0}t + \phi\right)$$

johdettiin aiemmin

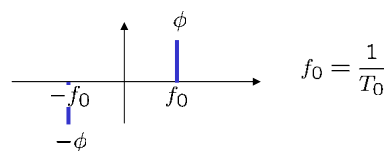
$$v_{2,k} = \frac{V_1}{2} \exp(i\phi) \frac{\sin(\pi(k-1))}{\pi(k-1)} + \frac{V_1}{2} \exp(-i\phi) \frac{\sin(\pi(k+1))}{\pi(k+1)} = \begin{cases} \frac{V_1}{2} \exp(i\phi) & k=1 \\ \frac{V_1}{2} \exp(-i\phi) & k=-1 \\ 0 & muutoin \end{cases}$$

- Signaalin $v(t)$ viivaspektri saadaan summana $v_k = v_{1,k} + v_{2,k}$

Amplitudispektri: $|v_k|$



Vaihespektri: $\arg\{v_k\}$



Esimerkki 2

- Ratkaistaan signaalin teho
 - Parsevalin teoreeman mukaan

$$P = \frac{1}{T} \int_{-T/2}^{T/2} |v(t)|^2 dt = \sum_{k=-\infty}^{\infty} |v_k|^2$$

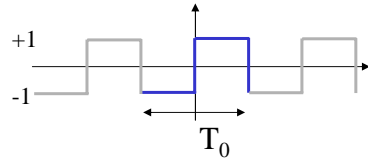
- joten, nyt

$$P = \sum_{k=-\infty}^{\infty} |v_k|^2 = |v_{2,-1}|^2 + |v_{1,0}|^2 + |v_{2,1}|^2 = \frac{1}{4} V_1^2 + V_0^2 + \frac{1}{4} V_1^2 = V_0^2 + \frac{1}{2} V_1^2$$

Tulos on sama kuin suoraan tehon määritelmästä johdettu.

Esimerkki 3

- Kellosignaali



- Signaalin DC-komponentti on 0 ($\alpha_0 = 0$)
- Signaali on pariton, joten kosinisarja häviää ($\alpha_k = 0$ $k = 1, 2, 3, \dots$)
 $v_k = -i\beta_k$
- Signaali on myös puoliaaltosymmetrinen, joten parilliset harmoniset katoavat

$$\beta_{2n} = 0, \quad n = 0, 1, 2, 3, \dots$$

Esimerkki 3

- Lasketaan sinisarjan kertoimet

$$\begin{aligned}
 \beta_k &= \frac{1}{T_0} \int_{-\frac{T_0}{2}}^{\frac{T_0}{2}} v(t) \sin\left(\frac{2\pi k}{T_0} t\right) dt \\
 &= -\frac{1}{T_0} \int_{-\frac{T_0}{2}}^0 \sin\left(\frac{2\pi k}{T_0} t\right) dt + \frac{1}{T_0} \int_0^{\frac{T_0}{2}} \sin\left(\frac{2\pi k}{T_0} t\right) dt \\
 &= -\frac{1}{T_0} \frac{1}{2\pi k} \left(1 - \cos\left(\frac{2\pi k}{T_0} \left(-\frac{T_0}{2}\right)\right) \right) + \frac{1}{T_0} \frac{1}{2\pi k} \left(\cos\left(\frac{2\pi k}{T_0} \frac{T_0}{2}\right) - 1 \right) \\
 &= \frac{1}{2\pi k} (-2 + 2 \cos(\pi k)) = \frac{\cos(\pi k) - 1}{\pi k} = \begin{cases} 0 & k \text{ parillinen} \\ \frac{2}{\pi k} & k \text{ pariton} \end{cases}
 \end{aligned}$$

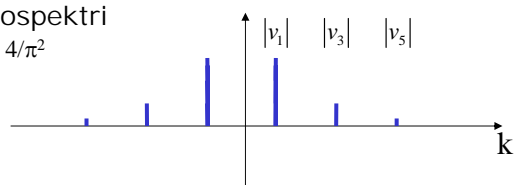
$$\int \sin(ax) dx = -\frac{1}{a} \cos(ax)$$

- Eksponentti Fourier-sarjan kertoimiksi tulee tällöin

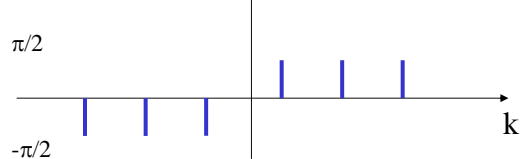
$$v_{2k+1} = -i\beta_{2k+1} = i \frac{2}{\pi k}, \quad v_{2k} = 0$$

Esimerkki 3

- Tehospektri
 $4/\pi^2$

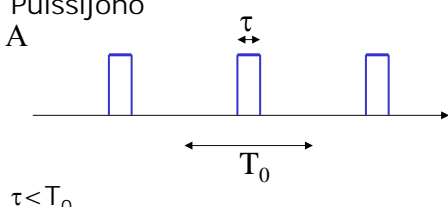


- Vaihespektri



Esimerkki 4

- Pulssijono
A



- Signaalilla on DC-komponentti (pulssin pinta-ala on $A\tau$)
 - Signaali on parillinen (sinisarja häviää) $v_k = \alpha_k$

$$v_k = \frac{1}{T_0} \int_{\frac{T_0}{2}}^{\frac{T_0}{2}} v(t) \exp\left(-\frac{2\pi k}{T_0} t\right) dt = \frac{1}{T_0} \int_{\frac{\tau}{2}}^{\frac{\tau}{2}} A \cos\left(\frac{2\pi k}{T_0} t\right) dt$$

Esimerkki 4

- Integroimalla saadaan

$$\begin{aligned}
 v_k &= \frac{1}{T_0} \int_{\frac{T_0}{2}}^{\frac{T_0}{2}} v(t) \exp\left(-\frac{2\pi k}{T_0} t\right) dt = \frac{1}{T_0} \int_{\frac{\tau}{2}}^{\frac{\tau}{2}} A \cos\left(\frac{2\pi k}{T_0} t\right) dt \\
 &= \frac{A}{T_0} \frac{1}{2\pi k} \left(\sin\left(\frac{2\pi k}{T_0} \frac{\tau}{2}\right) - \sin\left(-\frac{2\pi k}{T_0} \frac{\tau}{2}\right) \right) \\
 &= A \frac{\sin\left(\frac{\pi \tau k}{T_0}\right)}{\pi k} = A \frac{\tau}{T_0} \frac{\sin\left(\frac{\pi \tau k}{T_0}\right)}{\pi k \frac{\tau}{T_0}} = A \frac{\tau}{T_0} \operatorname{sinc}\left(\frac{\tau}{T_0} k\right)
 \end{aligned}$$

$$\int \cos(ax) dx = \frac{1}{a} \sin(ax)$$

$$\sin(-x) = -\sin(x)$$

Esimerkki 4

- Amplitudispektri

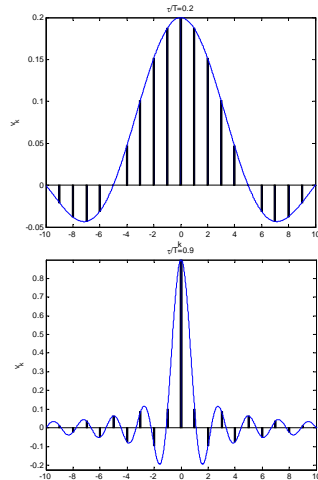
```

k=-10:10;
x=0.2; %x=Tau/T <1
A=1;

for n=1:length(k)
    v(n)=A*x*sinc(k(n)*x);
end;

bar(k,v,0.1)
xlabel('k')
ylabel('v_k')
title(['\tau/\tau_0=' num2str(x)])
hold on
t=-10:0.01:10;
plot(t,A*x*sinc(x*t))
axis([-10 10 -x/4 x])
hold off

```



Katkaistu Fourier-sarja

- Tarkastellaan approksimaatiota

$$v_N(t) = \sum_{k=-N}^N v_k \exp\left(i \frac{2\pi k}{T_0} t\right)$$

- Jos $v(t)$ täyttää ehdot i) ja ii)

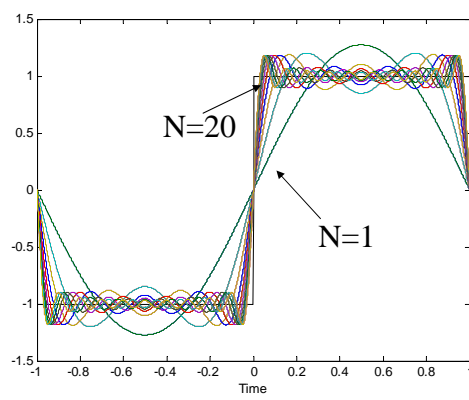
$$\text{i)} P = \frac{1}{T_0} \int_{-\frac{T_0}{2}}^{\frac{T_0}{2}} |v(t)|^2 dt < \infty$$

ii) $\lim_{\varepsilon \rightarrow 0} |v(t_0 + \varepsilon) - v(t_0 - \varepsilon)| \neq 0 \quad -T_0/2 \leq t_0 \leq T_0/2$
niin erosignaalin keskimääräinen teho menee nollaan

$$\lim_{N \rightarrow \infty} \int_{-T_0/2}^{T_0/2} |v_N(t) - v(t)|^2 dt = 0$$

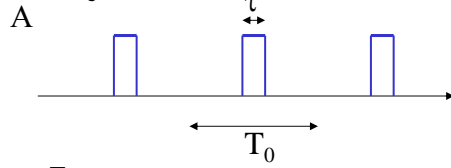
Gibbsin ilmiö

- Jos signaali on epäjatkuva-amplitudinen, niin askelmaisessa muutoskohdassa on noin 9 % ylitys riippumatta N:n suuruudesta.



Esimerkki 5

- Pulssijono



$$\tau < T_0$$

$$v_k = \frac{1}{T_0} \int_{\frac{T_0}{2}}^{\frac{T_0}{2}} v(t) \exp\left(-\frac{2\pi k}{T_0} t\right) dt = A \frac{\tau}{T_0} \text{sinc}\left(\frac{\tau}{T_0} k\right)$$

$$v(t) = \sum_{k=-\infty}^{\infty} v_k e^{i 2\pi \frac{k}{T_0} t}$$

$$\approx \hat{v}(t) = \sum_{k=-\frac{K}{2}}^{\frac{K}{2}} v_k e^{i 2\pi \frac{k}{T_0} t}$$

S-.72.1110 Signaalit ja järjestelmät 5 op

TKK Tietoliikennelaboratorio

33

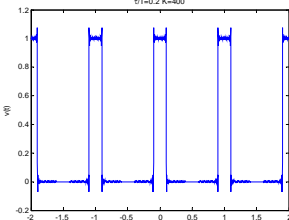
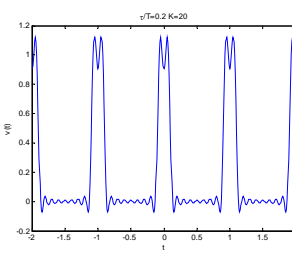
Esimerkki 5

- Approksimaatio

```
K=20;
k=-K/2:K/2;
T=1;
x=0.2; %x=Tau/T <1
A=1;

for n=1:length(k)
    v(n)=A*x*sinc(k(n)*x);
end;

t=-2*T:.001:2*T;
vhat=0;
for n=1:length(k)
    vhat=vhat+v(n)*exp(i*2*pi*k(n)/T*t);
end;
plot(t,vhat)
xlabel('t')
ylabel('v(t)')
title(['\tau/T=' num2str(x) ' K=' num2str(K)])
```



S-.72.1110 Signaalit ja järjestelmät 5 op

TKK Tietoliikennelaboratorio

34

<http://www.jhu.edu/%7Esignals/fourier2/index.html>